

DOI: 10.26104/NNTIK.2022.98.15.018

Усунаев Ш.Э.

**ЖЕРДИН ПАЛЕОКЕАНЫНДАГЫ ДҮЙНӨЛҮК ТАШКЫНДАРДЫН ЖАРАТЫЛЫШЫНЫН
ИНЖЕНЕРДИК ГЕОНОМИЯСЫ ЖАНА КАТАСТРОФАСЫН ТААНУУ**

Усунаев Ш.Э.

**ИНЖЕНЕРНАЯ ГЕОНОМИЯ И КАТАСТРОФОВЕДЕНИЕ ПРИРОДЫ
ВСЕМИРНЫХ ПОТОПОВ В ПАЛЕОКЕАНАХ ЗЕМЛИ**

Sh. Usupaev

**ENGINEERING GEONOMY AND CATASTROPHICS OF THE NATURE
OF THE GLOBAL FLOODS IN THE EARTH'S PALEOCEANS**

УДК: 556 (091): (575.2)

Жердин түзүлүшүнүн негизги структуралык өзгөчөлүктөрүнүн табияты, анын континенттик жана океандык кыртыштын асимметриялуу жайгашуусу ачылды. Палео-океандар, жана алардын көп болгон, анткени Жер резонанстык орбитага жакын баика планетардык денелер менен 5 эсеге кагылышуунун натыйжасында пайда болгон, бул алардын массаларынын кескин өсүшүнө, палеогеоиддердин көлөмүнүн көбөйүшүнө жана байыркы гидросферанын топтолушуна алып келген. Бирдиктуу палео-гидросфералар, анын ичинде эң байыркы мөңгүлөр, асман телолорунун кагылышуусу учурунда палеокеандардын түбүнөн инерциялык түрдө чачыраган, бул жер беттерин жана тоо структураларын мореналар менен жылдырып, кыйраган суу массаларынын дүйнөлүк кайталанма ташкындарына алып келген. Континенттерде чачырап кеткен түзүлүштөр сыяктуу. Жер менен болгон соккудан кийин ысып кеткен планеталык көйгөйлөр мантия материясынын магма түрүндө көтөрүлүп, анда металлга бай заттар ультранегиздик терең жарылуулар түрүндө тереңдиктен заматта чыгарылып, астеносферадан жаши суулар келип, ал эми палеокеандар бир палеоконтинентке бириккен Жердин континенттик жерин жабууга аргасыз болушкан. Планетардык проблеманын бети муздаган сайын ал ылдыйга түшүп, Жердин жерин каптаган палеокеандар планетардык проблеманын ойдуңун толтуруп, континенттердин бетинен чөкмө тектерди жок кылган. Асман телолорунун кагылышуусунан космос мейкиндигин чаң басып, мөңгүгө алып келди, бул жердин катуу ядросуна салыштырмалуу мантиянын жана литосферанын айлануу ылдамдыгын жогорулатып, геомагниттик талаанын белгисин өзгөрттү. Заманбап океандар континентти камтыган мурункуларына караганда жаши.

Негизги сөздөр: океан, планета проблемасы, кургактык, континент, сокку урулган кагылышуулар, жаши суулар, глобалдык суу ташкындары, мантия, мореналар, чаң басуу, мөңгүлөр, металлогения.

Выявлена природа главных структурных особенностей строения Земли, ее асимметрическое расположение материковой и океанической коры. Палеоокеаны, а их было множество, т.к. Земля образовалась вследствие 5 кратного ударного столкновения с близкими по резонансной орбите иными планетными телами, приводившими к скачкообразному увеличению их масс, росту объема палео-

Геоида и накоплению древней гидросферы. Объединенные палео-гидросферы, включая древнейшие ледники, при ударном столкновении небесных тел инерционно выплескивались из ложа палеоокеанов, что приводило к многократным всемирным потопам перекачивания водных масс и гигантским по масштабам селевого характера, разрушающим поверхности суши и горные сооружения, с разбросанными на континентах мореноподобными образованиями. Раскаленная после ударного объединения с Землей планетоблема, возвышалась в виде магмы мантийного вещества, где из недр были мгновенно вынесены богатые металлами вещества в виде ультраосновных глубинных излияний, из астеносферы поступала ювенильная вода, а палеоокеаны вынуждены были покрывать объединенные в единый палеоконтинент материковую сушу Земли. По мере остывания поверхности планетоблемы, происходило ее опускание и палеоокеаны покрывавшие Сушу Земли, заполняли депрессию планетоблемы снося с поверхности континентов осадочные породы. Запыление космического пространства от ударных столкновений небесных тел, приводили к оледенениям, что увеличивало скорость вращения мантии и литосферы относительно твердого ядра Земли и, меняло знак геомагнитного поля. Возраста современных океанов моложе в сравнении с их более древними покрывавшими континенты предшественниками.

Ключевые слова: океан, планетоблема, суша, материк, ударные столкновения, ювенильная вода, всемирные потопа, мантия, морены, запыление, оледенения, металлогения.

The nature of the main structural features of the structure of the Earth, its asymmetric arrangement of the continental and oceanic crust is revealed. Paleo-oceans, and there were many of them, because The Earth was formed as a result of a 5-fold impact collision with other planetary bodies close in resonant orbit, which led to an abrupt increase in their masses, an increase in the volume of the Paleo-Geooid and the accumulation of the ancient hydrosphere. The united paleo-hydrospheres, including the most ancient glaciers, inertially splashed out from the bed of the paleoceans during the impact collision of celestial bodies, which led to repeated worldwide floods of water masses rolling and destroying the Earth's surfaces and mountain structures, with moraine-like formations scattered on the continents. The planetary problems, heated after the impact association with the Earth, rose in the form of magma of the mantle substance, where metal-rich substances were instantly taken out of the depths in the form of ultrabasic

deep eruptions, juvenile water came from the asthenosphere, and the paleoceans were forced to cover the continental land of the Earth united into a single paleocontinent. As the surface of the planetary problem cooled, it descended, and the paleoceans covering the Land of the Earth filled the depression of the planetary problem, removing sedimentary rocks from the surface of the continents. The dusting of outer space from impact collisions of celestial bodies led to glaciation, which increased the speed of rotation of the mantle and lithosphere relative to the solid core of the Earth and changed the sign of the geomagnetic field. Modern oceans are younger than their older, continental-covering predecessors.

Key words: ocean, planetary problem, land, continent, impact collisions, juvenile water, global floods, mantle, moraines, dusting, glaciations, metallogeny.

Введение. Создание основ Общей Теории Земли, требуют изучения палеоокеанов которым уделяется недостаточное внимание. Образование Геоида по предложенной концепции экзогенного космического ударного столкновения Земли с подобными планетами приводит к скачкообразным увеличениям объемов и массы не только планеты, росту величины и ассортимента ресурсной обеспеченности дифференцированного на планетосферы небесного тела, а также объема и качества воды в палеоокеанах и истории палеорождения и развития жизни на Земле [1-12].

Цель работы. дешифровать объемную фигуру Геоида по гравиметрическим аномалиям и идентифицировать природу образования Земли, палео-океанов и древних оледенений, металлогенических импульсов, больших планетарных гранитов, глобальных несогласий, механизмом ударных столкновений с планетоблемами и астероидоблемами [1-12].

Обзор мировой литературы. В литературе зарубежной и отечественной, информация о формиро-

вания Земли, планет, звезд и иных небесных образований механизмом их ударных столкновений практически минимизированы. Океаны впервые появились 3,5 млрд лет назад как следствие дегазации магмы и последующей конденсации паров атмосферы. Большинство океанских бассейнов современности возникло в последние 250 млн лет вследствие раскола древнего суперконтинента и расхождения в стороны, т.е. спрединга литосферных плит. Тихий океан, представляет из себя уменьшающийся остаток древнего океана Панталассы [1-12].

Инженерно-геономические принципы заложены были ранее в 4-х издании инженер-геологов СССР академика Сергеева Е.М. «Теоретические основы инженерной геологии» и концепции «охрана окружающей геологической среды» охватывающей земную кору, кровлю литосферы [7]. Профессор Трофимов В.Т. создал новое научное направление **экологическая геология** и обосновал впервые «Теорию и прикладные основы экологических функций литосферы» [8]. Академик РАН Осипов В.И. в трудах по геоэкологии, обосновал природу георисков, что является развитием «катастрофоведения» [6]. Академик Сергеевым Е.М. инженер Друян В.А. (1986) приповерхностные горизонты литосферы охарактеризованы как основание, часть сферы разума, а инженерная геология (геология окружающей среды) предложено именовать **геологией ноосферы** – сферы разума [7].

Результаты исследований. Океаны Мира занимают около 71% или до 2/3 поверхности планеты. Океаны формируют погоду, климат, способствуют выпадению необходимых для жизни дождей, зимой снега (рис. 1).

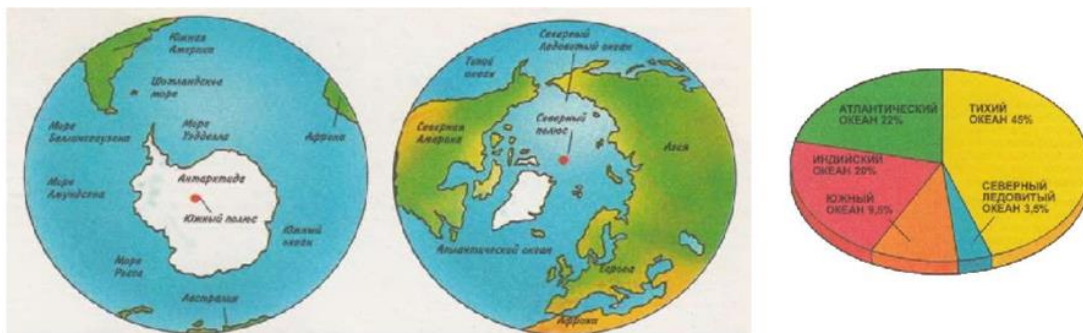


Рис. 1. Океаны Мира.

На Геоиде, высокоточных спутниковых гравиметрических картах, отчетливо дешифрируются крупных шесть (6) понижений и четыре (4) приподнятиостей рельефа Геоида. В сравнительно-планетологическом аспекте аномалии на Геоиде указывают на 5 столкновений Земли с

иными планетами, что скачкообразно увеличивало объем и массу Геоида:

1. Б - Бразильская 4 млрд. лет тому назад (архей I),
2. К - Канадская 3,5 млрд. лет (архей II),
3. А - Арктическая 2,8 млрд. лет (афебий),
4. Те - Тетис 1,9 млрд. лет. (рифей)

5. Ти - Тихоокеанская от 0,67 0 млрд. лет (венд-фанерозой) (рис. 9).

Ядро Земли после 5-го столкновения было выбито на 500 км от геометрического центра Земли к западной части Тихого океана и расположена в хвостовой части ударной планетоблемы. При этом произошла катастрофическая трансформации георисками поля Р 1-п. (палео-прочности) Земли [1, 9-11].

Арктический (Северно-Ледовитый океан) с воз-растом ударного столкновения 2,7-2,8 млрд. лет имеет длину в 1,5 раз большую чем ширина и относится к планетоблеме. Не было 2,5 млрд. лет назад ископаемого Тетиса, Атлантического, Индийского океанов, т.к. Земля была мала по размерам. Ударные столкновения планет являются вследствие запыления космического пространства в Солнечной системе причинами оледенения [1, 9-11].

Быстрые оледенения происходили при столкно-вениях небесных тел в пределах планет земной груп-пы, а медленные вследствие ударных столкновений планет-гигантов, когда засорившие космос выбро-шенные вещества медленно доходили до Земли и Солнца. Самое древнее оледенение на Земле имеет возраст 2,8 млрд. лет и сформировано было следст-вие столкновения Земли с Арктической (Северно-Ле-довитой) планетой [1, 9-11].

Оледенения на Земле представлены ледниковы-ми отложениями в 3-ех горизонтах гуронского, ниж-непротерозойского возраста, среднерифейское, 2-ух горизонтах верхнерифейского возраста, позднедевонское, затем в 3-ех горизонтах пермо-карбонного возраста и палеогеновом похолодании. В результате ударных столкновений планет, приводивших к запылению космического пространства между Солнцем и небесными телами возникали на Земле и планетах оледенения. Оледенения накапливают гидросферу из льда в высоких широтах и на полюсах Земли, что приводит к ускорению вращения земной коры и мантии, обуславливая плавный западный дрейф ГМП (геомагнитного поля) [1, 9-11].

Жизнь на Землю заносилась многократно. После столкновения Земли 2,8 млрд лет тому назад с Арктической планетой 1,9 млрд. лет с планетой Тетис и 0,67 млрд. лет Тихоокеанской планетой, в связи с их расположением между Землей и Марсом т.е. на удалении от жаркого Солнца появлялась занесенная жизнь. Скелетные формы жизни внезапно появились на Земле в кембрии, после столкновения с Тихокеан-ской внешней от Земли планетой. Оледенения на планете, связанные с запылением космического про-странства от ударных столкновений небесных тел, приводили к охлаждению планеты и кризисам жизни, одновременно к зарождению жизни на остывающих от выброса вещества приграничных зонах планетоблем и астероидоблем [1, 9-11].

По ноосферной Единой теории палеопрочности Земли-Воды и Жизни, в геистории Геоида выделены в качестве самых крупных подразделений шкалы времени 3 эона:

1. Безжизненный от катархея до границы с криптозоом;
2. Скрытой первой жизни, от криптозоа до про-терозоя;
3. Открытой жизни, в фанерозе.

Падения на Землю астероидов вызывают увели-чение ускорения или уменьшение вращения земной коры и мантии в зависимости от направления падений небесного тела. При падении астероида с запада на восток, происходит ускорение, а с востока на запад замедление вращения мантии и инверсии магнитного поля. В эрах консолидации коры, которых было 3 в истории Земли:

1. В конце раннего протерозоя (конец арктиче-ского эона).
2. В середине рифея.
3. В герцинскую складчатость (390-100) млн. лет, палеоокеаны погружались в чашу остывших планетоблем. В процессе столкновении Земли с планетами формировались глобальные тектонические события синхронно, при столкновении с астероидами не синхронные локальные несогласия [1, 9-11].

В качестве индикаторов ИГН дешифрирования плането- и астероидоблемных хронологических рубежей для планет земной группы разработаны нижеследующие критерии [1, 9-11]:

- 1) Обнаружение следов и самого ядерного образования с перевернутыми породами в направлении ударного кратера;
- 2) Обилие обломочного и раздробленного материала;
- 3) Сползание литосферных блоков в образован-ную астероидоблемой депрессию;
- 4) Скачкообразный рост объема геосферы от расширения внедрившейся астероидоблемы и ее расплавляющего недр эффека;
- 5) Надрегиональный магматизм;
- 6) Проседание материков в сторону ударной депрессии от астероидоблемы, рифтогенез и наступ-ление моря;
- 7) Вымирание в геологических разрезах многих видов животных и организмов;
- 8) Изменение скорости вращения Земли определяемый по кораллам и учащению циклов инверсий геомагнитного поля;
- 9) Снятия слоев в донных рыхлых осадках океанов океанов и морей;
- 10) Изменения параметров магнитного поля Земли по геомагнитным измерениям отложений;
- 11) Перемещения положения географического экватора и полюсов Земли;
- 12) Аномальные металлогенические импульсы;

13) Опрокинутые от кратера падения астероидоблемы, ударно-взрывного характера сложения кратковременной складчатости;

14) Катастрофическое наводнение и/или всемирный потоп и смыв гидродинамическими

На участках расположения палеоран ударных 5 планетоблем, а также 48 выявленных следов астероидоблем сформировались изначально с момента ударных образований благоприятные условия для размещения Мегаструктуры Центрального типа, стратиформных и коптогенных полезных ископаемых. Твердое ядро Земли по своей орбите в декабре месяце импульсно поднимается в северное, в июле месяце опускается в южное полушария планеты, вызывая ритмичность и сезонность в формировании накопления остаточных напряжений и проявления георисков [1, 9-11].

массами воды, перехлестывающими через материки с образованием морено-подобных образований [1, 9-11].

Следует подчеркнуть, что при падении с внешней от Земли орбиты иной планеты, где температура была холоднее, после ударного столкновения обновленное с скачкообразным ростом объема и массы, новый Геоид увеличивал обобщенную орбиту во внешнюю сторону, и происходило формирование месторождений полезных ископаемых, образование планетосфер, объединение ледников разных планет, океанов воды, а также более развитых форм жизни [1, 9-11]. На рисунке 2. Геономико-геогидрологическая модель круговорота компонент полигрунтов с флюидами и водой образующих месторождения по механизму ДО и МЦТ [3, 9-11].

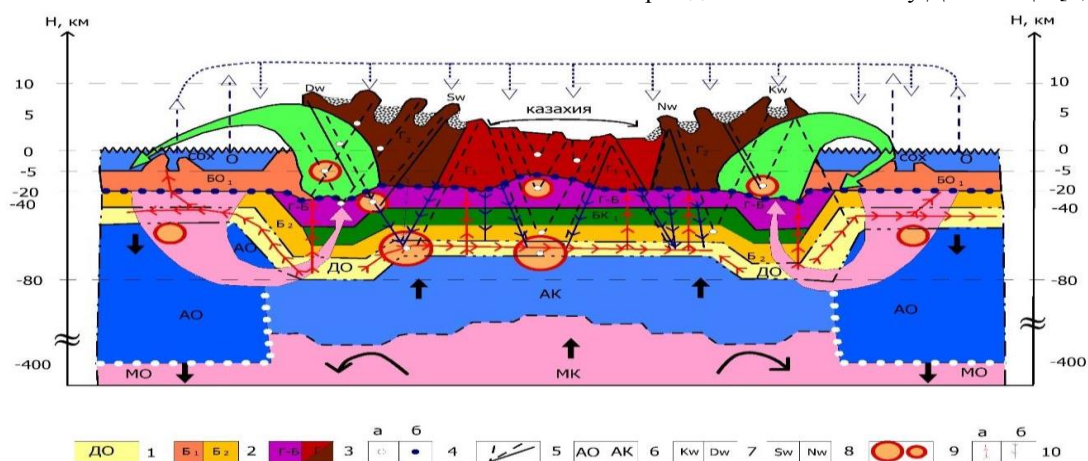


Рис. 2. Геономико-геогидрологическая модель круговорота компонент полигрунтов с флюидами и водой образующих месторождения по механизму ДО и МЦТ (б), где: 1. ДО-дренажная оболочка; 2. базальты верхние B_1 ; BO_2 - нижний слой базальты океанические и континентальные; БК –континентальные (преобразованные из океанических); 3. ГБ - гранито-базальты (слои преобразования БК в граниты); Г – граниты; 4. а. концентры МЦТ аккумуляторы источников нефтегазородного вещества; б. горизонты локализации ловушек над границей Конрада нефтегазородных компонент в виде полигрунтов полезных ископаемых; 5. МЦТ структуры генерирующие вещества в концентрах полезных ископаемых (нефтегазород); 6. астеносфера содержащая ювенильные воды и компоненты полигрунтов с полезными ископаемыми АО-океаническая; АК – континентальная; 7. вергентные новейшие структуры Азии, Высокой Азии и Тянь-Шаня K_w -конвергентный; D_w -дивергентный; 8. S_w -южномоновергентный; N_w -северо-моновергентный; 9. астероидоблемы формирующие МЦТ и концентры аккумуляции компонент вещества месторождений нефтегазород; 10. направления движения и миграции воды, флюидов и компонент полезных ископаемых по механизму круговорота полигрунтов [1, 9-11].

Падение ударное десятков (48) спутников планет и астероидов следы которых сохранились на поверхности Земли, также приводили к скачкообразному росту массы и объема Геоида, формированию месторождений полезных ископаемых, кризисам жизни. Всего в сравнительно планетологической и геологической истории Земли по гравиметрическим картам, возрастам пород, слагающим земную кору в кровле литосферы выделяется отчетливо 5 планетоблем-ПБ: ПБ-5. возрастом 4,0 млрд. лет, Бразильская, сформировала самую древнюю земную кору. ПБ-4. возрастом 3,5 млрд. лет, Канадская. ПБ-3. возрастом 2,7-2,8 млрд.

лет, Арктическая. Сформировался **1-ый гранит, и первое становое великое на Земле горообразование**. ПБ-2. возрастом 1,9 млрд. лет, Тетис. Образовался **2-ой гранит**. ПБ-1. возрастом 0,67 млрд. лет, Тихоокеанская. Образовался **3-ий гранит, Великое наводнение венда**, на Земле при столкновении планет образовался Великий потоп, т.к. океаническая масса воды была выплеснута ударным столкновением и ложа и выброшена на Сушу, т.е. на поверхность континентов. Планетоблема охватывала до 50% поверхности объединенной Земли с иной планетой и возвышалась в виде океана огненной магмы. ПБ-1 охлаждалась около 400 млн лет. После охлаждения и

погружения, остывшей магмы прогибание привело к формированию дна Тихого океана.

Тихий океан - планетоблема, т.е. ударное образование. После ударного столкновения с иной планетой, упавшей на Землю. 680 млн лет тому назад, с внешней от Солнца резонансной орбиты, ядро Земли было выбито в северное полушарие в хвостовую часть планетоблемы, а именно в западную часть Тихого океана, со смещением от геометрического центра на 500 км. Ядро планетоблемы Тихий океан оказалась в южном полушарии. Ядра древних планет ударно столкнувшихся с Землей, чем крупнее, тем позже сталкивались с Геоидом. Ядра столкнувшихся с Землей планетоблем чем ближе к поверхности Земли, тем больше воздействуют на смещение экватора. В южном полушарии Земли расположены ядра планетоблем ПБ 5 и ПБ 4, они расположены с разных сторон полушария и компенсируют полюсобежные силы друг друга. Ядра планетоблем ПБ3 и ПБ2 расположены в высоких широтах с одной стороны северного полушария с одной стороны Земли и мало влияют на смещение экватора. Однако ядро планетоблемы ПБ1 и изначальное ядро

Земли расположены близко к поверхности Земли и оказывают на медленное смещение экватора и полюсов Земли Ядро Земли крупнее ядра планетоблемы ПБ1 и находится глубже [1, 9-11]. Геохронологическая временная единица Эон делятся на эры. При этом начальная после столкновения таких эр было 5 в том числе каледонская, эра характеризуется деструкцией и распадом единых континентов, вследствие движения литосферы в депрессию планетоблемы. **Вторая эра**, характеризуется движением мантии и коры материкового полушария к его центру, что вызвано погружением в недра к центру твердых ядер Земли создающих Пангею, таких эр было 3. В зоны тихоокеанский, тетис, арктический. **Третья эра** характеризуется деструкцией материкового полушария и движением мантии и коры во все стороны от литосферобезной зоны, расположенной антиподально эпицентрам земного ядра и ядра ПБ1. Таких эр было 2, в зоне Тетис и зоне тихоокеанский.

На рисунке 3 приведены распределения палеоматериков и палео-океанов на планете Земля.

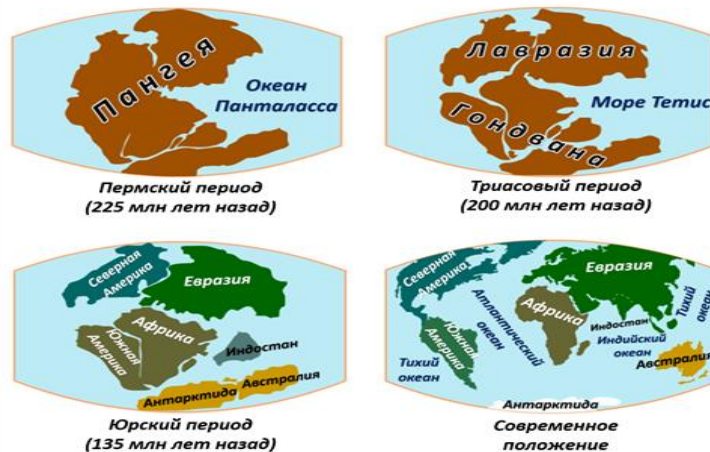


Рис. 3. Палеоокеаны Мира.

Современная литосферобезная зона находится в северной части Индийского океана, вокруг подводной горы Афанасия Никитина. Мировой океан – это часть гидросферы, или единая водная акватория Земли, к которой относятся все океаны, моря, проливы и заливы.

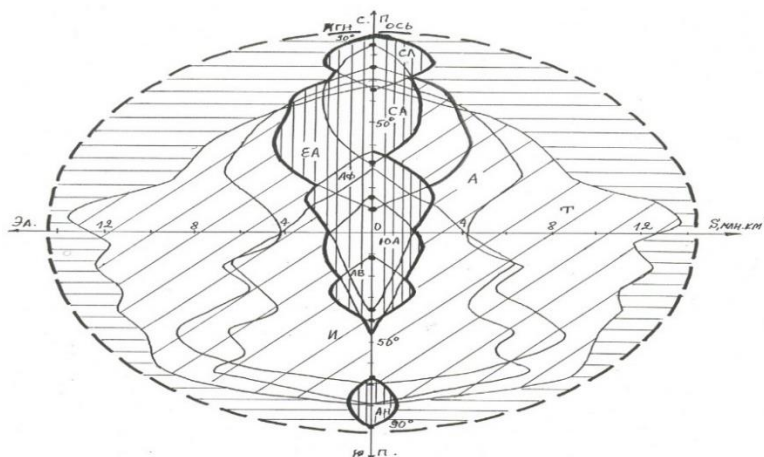


Рис. 4. Инженерно-геономическая модель латеральной по широтной закономерности распространения, типизации и взаимосвязи океанов и континентов на Земле: СА – Северная Америка, ЮА - Южная Америка, АФ - Африка, EA - Азия, АВ - Австралия, АН - Антарктида, СА - Северно-Ледовитый океан, А - Атлантический, Т - Тихий, И - Индийский океаны.

Он занимает 71% всей поверхности планеты. Мировой океан един и состоит из 5 связанных между собой океанов:

1. Тихий океан – самый большой и самый древний из всех океанов. Его площадь составляет 178,6 млн. км².
2. Атлантический океан в два раза меньше Тихого океана и вытянут с севера на юг, чем с запада на восток.
3. Индийский океан имеет площадь примерно 90 млн кв. км, он широкий.
4. Южный океан – содержит воды 3 океанов (Тихого, Атлантического и Индийского), окружающих Антарктиду. Северная граница Южного океана

проводится по 60-й параллели южной широты. Площадь океана составляет 20 млн кв. км.

5. Северный Ледовитый океан – наименьший из океанов Земли. Его площадь 15 млн. км² и расположен в Арктике вокруг Северного полюса (рис. 5) [1, 9-11].

Более трехсот млн. лет назад материк была одна Пангея, под действием магматических вихрей он раскололся на два материка - Лавразию и Гондвану (около 200 млн. лет назад), а 40 млн. лет назад поверхность планеты обрела современный облик: на планете шесть материков: самый крупный - Евразия; самый жаркий - Африка; самый вытянутый с севера на юг - Северная Америка;

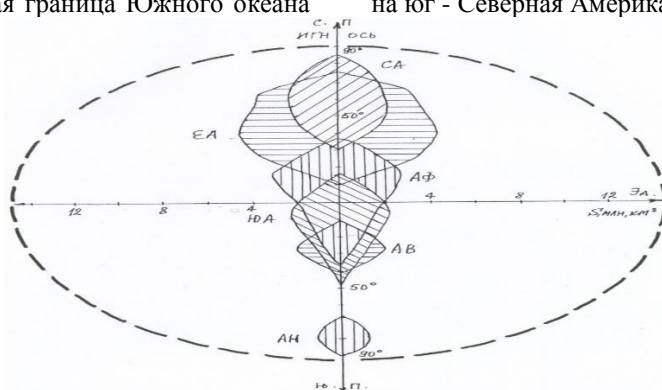


Рис. 5. Инженерно-геономическая модель латеральной по широтной закономерности распространения, типизации и взаимосвязи континентов на планете Земля: СА- Северная Америка, ЮА - Южная Америка, АФ - Африка, EA - Азия, АВ - Австралия, АН - Антарктида.

Южная Америка; самый холодный – Антарктида; самый маленький – Австралия. Материки двигаются относительно друг друга и вскоре могут снова соединиться. Северная Америка движется в сторону Евразии со скоростью около 20 мм в год (рис. 6) [1, 9-11].

На рисунке 7 показано орбитальное вращение твердого ядра Земли внутри жидкого ядра,

оказывающего периодическое и циклическое гравитационное воздействие сжатия и растяжения на вышележащие геосферы, вплоть до поверхности земной коры, что вызывает геориски эндо- и экзогенного характера. [5].

Таким образом, за 4 млрд. лет. Земля 5 раз ударно сталкивалась с иными планетами, после каждого события происходила деструкция материковых полу-

шарий, и еще 2 в позднерифейскую эру и альпийскую складчатость (100-0) млн лет. В результате 7

деструкционных событий, палеоокеаны располагались на континентах [1, 9 - 11].

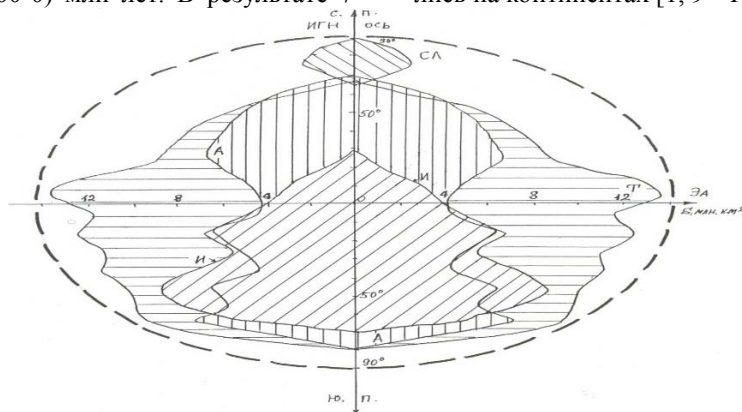


Рис. 6. Инженерно-геономическая модель латеральной по широтной закономерности распространения, типизации и взаимосвязи океанов на планете Земля: АН - Антарктида, СА - Северно-Ледовитый океан, А - Атлантический, Т - Тихий, И - Индийский океаны.

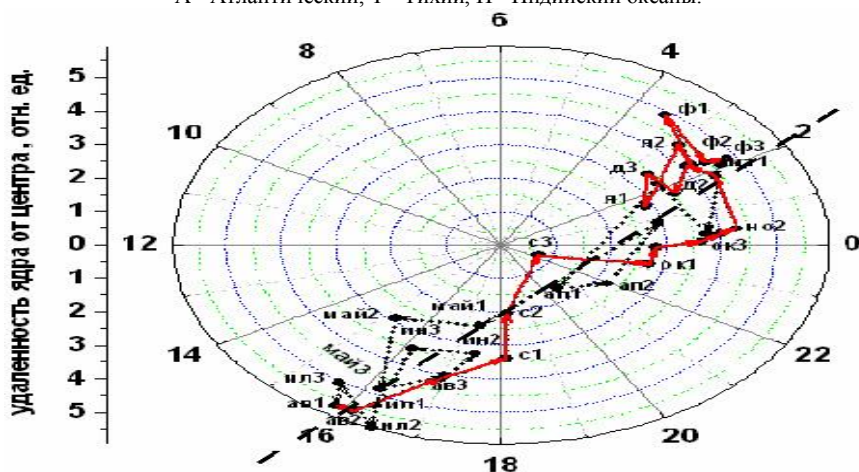


Рис. 7. Орбитальное вращение твердого ядра Земли внутри жидкого ядра, оказывающее гравии-нертное воздействие сжатия и растяжения на вышележащие геосферы, вплоть до поверхности Земной коры.

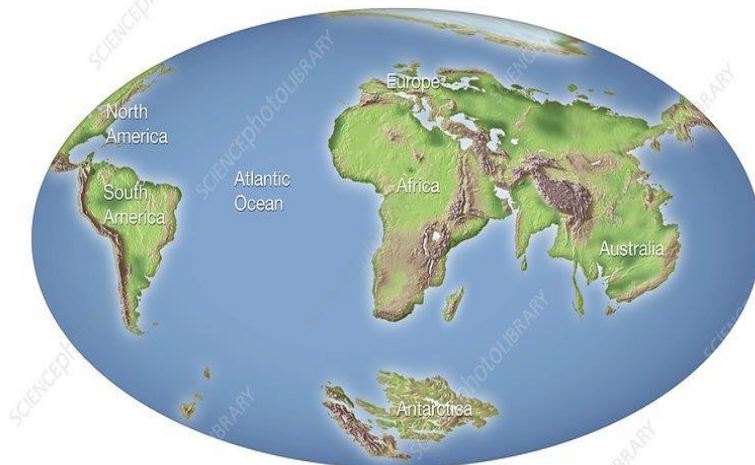


Рис. 8. Прогнозная карта-модель расположения континентов и океанов через 100 млн. лет (МИККЕЛЬ ЮУЛ ЙЕНСЕН / НАУЧНАЯ ФОТОБИБЛИОТЕКА).

На рисунке 9 кружочками синего цвета выделены соответственно 19 рубежей оледенений произошедшие из-за запыления атмосферы от ударных столкновений небесных тел и перекрытия поступления солнечных лучей на поверхность Земли ведущей к великим оледенениям Земли [1, 9-11].

Кружочками зеленого цвета и горизонтальными линиями, выводящими на колонку стратиграфической схемы выделены 8 наиболее крупных рубежей образования вследствие ударных столкновений небесных тел с Землей металлогенических импульсов, давших жизнь полезным ископаемым. Красными кружочками (Рис.5-8) и отходящими от них линиями аналогичного цвета, прорезающими насквозь шкалу геологического времени и буквенными обозначениями указаны столкновения с иными планетами. Оранжевыми кружочками и линиями столкновения Земли с планетоледами. Зелеными кружочками и линиями

ударные столкновения с астероидами, приведшими к активизации металлогении на Земле. Синими кружочками и линиями показаны рубежи времени ударных столкновений Земли и планет солнечной Системы с небесными телами приведшими к запылению космического пространства с похолоданиями и кризисами жизни от оледенений на Земле (рис. 9) [1, 9-11].

Уточненная геохронологическая шкала Мира и геоним-модели необходимы для обоснования Единой Теории палеопрочности иерархически сомасштабно-соорганизованных масс вещества материи в форме геосфер Земли, планет Солнечной системы и их звезд и спутников. В Общей и Единой теории Земли экспериментально обнаружен факт собственного ежегодного орбитального импульсного движения твердого ядра вокруг геометрического центра Земли [1, 9-11].

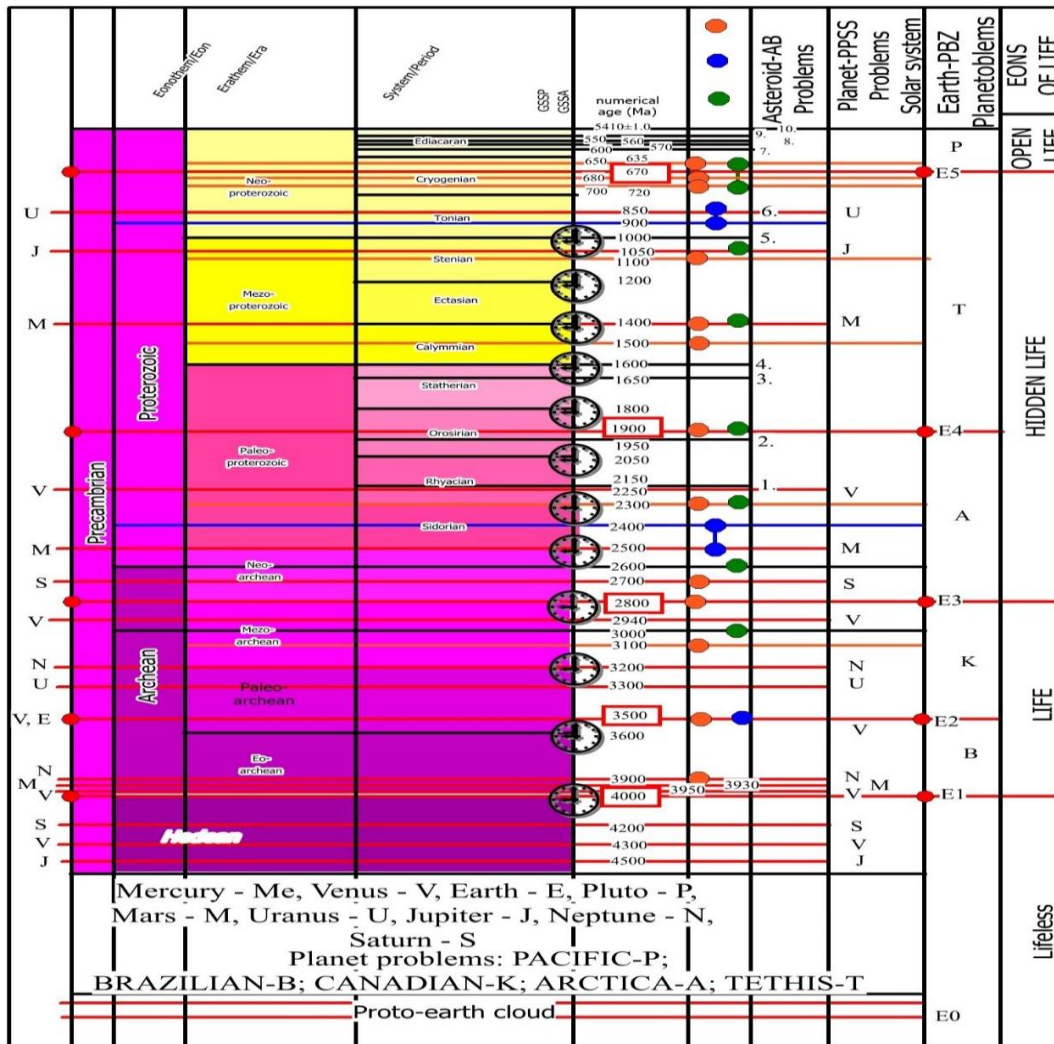


Рис. 9. Ноосферная инженерно-геономическая катастрофоведческая шкала рубежей времени от ударного столкновения с Землей подобными небесными телами, сформировавшими отложения палеоокеанов, месторождений полезных ископаемых,

образований древних ледников, стратиграфо-импактных границы планетарного коптогенеза [1, 7, 10].

Выводы:

1. Основы ноосферной инженерной-геономии разработаны для создания «Единой теории палеопрочности Земли», интегрирующей репрезентативные достижения наук о «Земле-Воде-Жизни» с позиций формирования палеоокеанов и их всемирных потоков, от ударных столкновений небесных тел и Земли и запыления космического пространства ведущего к древнейшим оледенениям на Геоиде Солнечной системы.

2. Обосновано направление научное «Катастрофоведение», где впервые усовершенствованы границы ударных столкновений небесных тел, как рубежей геовремени в Международной геохронологической шкале Мира, которая дополнена границами 5 планетоблем и 48 астероидоблем.

3. Как причинно-следственных обоснований изменений старых и появления новых границ периодов в системе геовремени.

4. Палео-океаны, сопряженные с ними палео-оледенения Земли требуют их идентификации с позиций разработанной концепции экзогенного космического ударного механизма в формировании Солнца и ее планет.

Литература:

1. Ачкасов П.В., Усупаев Ш.Э. Гипотеза ударного преобразования планет Солнечной системы на примере Земли. Материалы международной конференции «Подготовка к чрезвычайным ситуациям и реагирование на риски

экологической безопасности в Центрально-Азиатском регионе». 18-19 декабря 2000 г. Бишкек, 2000. - С. 139-145.

2. Белоусов В.В., Вихерт А.В. / Под. ред. Вопросы геономии (Кора и верхняя мантия). - М.: Изд. МГУ, 1972. - 240 с.
3. Григорьев С.М., Емцев Е.Т. Скульптор лика Земли. - М.: Изд-во «Мысль», 1977. - 192 с.
4. Круть И.В. Введение в общую теорию Земли. - М.: Мысль, 1978. - 368 с.
5. Малышков Ю. П., Малышков С. Ю. Периодические вариации геофизических полей и сейсмичности, их возможная связь с движением ядра Земли. / Геология и геофизика, 2009. - Т. 50. - №2. - С. 152-172.
6. Осипов В.И., Шойгу С.К., Владимиров В.А., Воробьев Ю.Л. Природные опасности и общество. - М.: Изд. фирма «КРУК», 2002. - 248 с.
7. Сергеев Е.М., Друянов В.А. Человек и геологическая среда. - М.: Сов. Россия, 1986. - 80 с.
8. Трофимов В.Т. «Экологические функции литосферы». - М., 1997, 432 с.
9. Усупаев Ш.Э., Ачкасов П.В. Инженерно-геономическая палеокатастрофия образования объемных фигур планет (на примере геоида Земли). Материалы международной конференции по геодезии и геоинформатике по программе Европейской Комиссии ТЕМПУС. – Бишкек: КГУСТА, 2007. - С. 160-163.
10. Усупаев Ш.Э. Инженерная геономия функции воды гидридной Земли. / Журнал «Наука, новые технологии и инновации Кыргызстана». - № 3, Бишкек, 2018. - С. 35-40.
11. Усупаев Ш.Э. Единая ноосферно-инженерно-геономическая теория Земли. Научно-теоретический Журнал «Наука, новые технологии и инновации Кыргызстана», №11. - 2015. - С. 24-38.
12. Cohen, K.M., Finney, S.C., Gibbard, P.L. & Fan, J.-X. (2013; updated) The ICS International Chronostratigraphic Chart. Episodes 36: 199-204. URL: <http://www.stratigraphy.org/ICSchart/ChronostratChart2015-01.pdf>. International Commission on Stratigraphy www.stratigraphy.org.